

## МЕТОД ПОДАВЛЕНИЯ ИМПУЛЬСНЫХ ПОМЕХ ПРИ ОБРАБОТКЕ СИГНАЛОВ И ИЗОБРАЖЕНИЙ С ИСПОЛЬЗОВАНИЕМ НЕЛИНЕЙНЫХ ФАЗОВЫХ ФИЛЬТРОВ

### ВВЕДЕНИЕ

Импульсные помехи (ИП) являются одним из основных факторов, ухудшающих качество изображений, и могут возникать как при передаче сигналов, несущих информацию об изображениях, по каналам связи (в особенности коммутируемым проводным каналам низкого качества и радиоканалам), так и непосредственно в процессе их обработки (например, вследствие ошибок декодирования) [1–3]. Если ИП носят точечный характер, их влияние удается сравнительно просто свести к минимуму путем "исправления" пораженных помехой элементов изображения с помощью интерполяции по соседним элементам [1] или медианной фильтрации [3]. При обработке одномерных сигналов на практике широко используется ограничение, бланкирование и другие подобные нелинейные операции подавления ИП [4]. Однако все эти методы становятся малоэффективными, если помеха поражает не один, а достаточно много соседних элементов, т.е. становится соизмеримой по размерам с изображением (или по длительности – с сигналом).

Для подавления таких видов ИП в принципе можно использовать методы нелинейной фильтрации по минимуму среднего квадрата отклонения (СКО), основанные на представлении сигналов и изображений марковскими моделями в пространстве состояний [5,6]. Но возможности их практической реализации весьма ограничены – как из-за отсутствия точных решений у соответствующих уравнений для апостериорных распределений и необходимости использования многочисленных и не всегда оправданных приближений, так и потому, что вопрос о применимости марковских моделей для изображений часто остается открытым [6]. Кроме того, критерий минимума СКО далеко не всегда приемлем для оценки качества изображений и других видов непрерывных сообщений, особенно, если речь идет о субъективном восприятии.

В то же время значительный прогресс, достигнутый за последние годы в технике цифровой обработки сигналов, появление процессоров и других видов СБИС с высоким быстродействием значительно расширяют возможности реализации более сложных алгоритмов обработки, чем перечисленные выше простейшие нелинейные преобразования. Один из таких алгоритмов предложен авторами в [7] и включает в себя такие операции, которые позволяют сжать импульсы помехи до точечных практически без изменения полезного сигнала, что дает возможность затем подавить их одним из известных указанных выше методов. Цель данной работы – его обобщение на двумерные сигналы (изображения и поля).

### 1. МОДЕЛИ ИМПУЛЬСНЫХ ПОМЕХ

Импульсные помехи в каналах связи и на изображениях отличаются от других видов шумов тем, что имеют значительно меньшую длительность или размеры по сравнению с анализируемой областью одномерного или двумерного сигнала [1,8]. Как правило, их можно рассматривать как квазидетерминированные функции времени или пространственных координат, форма которых известна, а случайными являются только параметры. В зависимости от вида сигнала (модулированный сигнал в канале связи, комплексная амплитуда волнового поля, яркость точки двумерного изображения и т.п.) ИП может принимать значения на множествах комплексных, вещественных или положительных чисел. Используя, как наиболее общее, комплексное представление, можно записать выражение для ИП в виде

$$u(t_1, t_2) = \sum_k A_k \times \times q(t_1 - t_{1k}, t_2 - t_{2k}; \tau_{1k}, \tau_{2k}) \exp(i\varphi_k) \quad (1)$$

где  $q(t_1, t_2; \tau_1, \tau_2)$  – детерминированная функция, описывающая форму огибающей ИП,  $A_k, t_{1k}, t_{2k}, \tau_{1k}, \tau_{2k}, \varphi_k$  – случайные параметры, имеющие смысл амплитуды, координат, размеров и фазы  $k$ -го импульса. Как правило, их можно считать независимыми с известными плотностями вероятностей. В рассматриваемых здесь задачах свойства последовательностей ИП в целом не существенны и алгоритмы фильтрации синтезируются с учетом характеристик отдельных импульсов. При этом начало координат можно связать с центром анализируемого импульса, так что модель одиночной ИП принимает вид

$$u(\mathbf{t}, \Theta) = Aq(\mathbf{t}, \tau) \exp(i\varphi_k), \quad (2)$$

где  $\mathbf{t} = (t_1, t_2) \in \mathbf{T}$  – вектор координат из некоторой двумерной области  $\mathbf{T}$ ,  $\tau_n = (\tau_1, \tau_2)$  и  $\Theta = (A, \tau_1, \tau_2, \varphi_n)$  – векторы случайных параметров. В качестве простого приближения для формы ИП на изображениях можно использовать гауссовскую функцию

$$q(\mathbf{t}, \tau) = \exp\left\{-\frac{t_1^2}{2\tau_1^2} - \frac{t_2^2}{2\tau_2^2}\right\}. \quad (3)$$

В каналах связи ИП обычно имеют осцилляции [8], для учета которых можно использовать модель вида

$$q(\mathbf{t}, \tau_n) = \exp\left(-\frac{k_{\text{тм}}\pi t}{\tau_n}\right) \sin \frac{\pi t}{\tau_n}, \quad (4)$$

где  $t$  – одномерная временная координата,  $k_\phi$  – коэффициент формы, характеризующий затухание ИП. При  $k_\phi \gg 0$  ИП практически не имеет осцилляций, а при  $k_\phi = 0$  осцилляции принимают вид незатухающего гармонического колебания. Результаты статистического анализа реальных радиопомех [6,8] показывают, что для их амплитуд типично логнормальное распределение

$$w(A) = \frac{1}{A\sigma\sqrt{2\pi}} \exp\left(-\frac{\ln^2(A/\mu)}{2\sigma^2}\right), \quad (5)$$

где  $\sigma$ ,  $\mu$  – параметры распределения. Закон распределения фаз импульсов часто принимается равномерным, а длительностей – усеченным нормальным

$$w(\tau_n) = \begin{cases} \frac{C \exp[-(\tau_n - m_\tau)^2]}{2\sigma_\tau^2}; & \tau_1 \leq \tau_n \leq \tau_2 \\ 0; & \tau_n < \tau_1, \tau_n > \tau_2, \end{cases} \quad (6)$$

где  $C$  – нормирующая константа, определяемая границами усечения,  $m_\tau$ ,  $\sigma_\tau^2$  – моменты исходной (неусеченной) гауссовской функции.

## 2. ВЫБОР ОПТИМАЛЬНОГО ПРЕДСТАВЛЕНИЯ СИГНАЛОВ И ПОМЕХ В ЗАДАЧАХ АМПЛИТУДНОЙ СЕЛЕКЦИИ

На вход приемного устройства поступает смесь сигнала  $s(t)$ , суммы сосредоточенной и флуктуационной помех  $n(t)$  с ИП  $u(t)$

$$z(t) = s(t) + n(t) + u(t). \quad (7)$$

В наиболее общем виде рассматриваемый здесь класс нелинейных фильтров можно представить структурной схемой, показанной на рис. 1. Оператор  $F$  задает отображение множества входных воздействий вида (7) на множество функций некоторой (в общем случае – новой) переменной  $v(\mathfrak{Q})$ , в котором обеспечена наилучшая селекция сигнала и импульсных помех, определяемая оператором  $K$ . Обратный оператор  $F^{-1}$  обеспечивает формирование оценки

$$\hat{z}_0(t) = z(t) - \hat{u}(t)$$

остатка смеси (7) с подавленной ИП

$$z_0(t) = s(t) + n(t) \quad (8)$$

по селектированной функции  $v_0(\mathfrak{Q})$ , а оператор  $W$  описывает линейный фильтр, обеспечивающий оптимальную оценку полезного сигнала  $\hat{\epsilon}(t)$  в смеси (8).

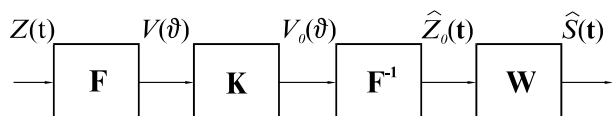


Рис. 1

Критерием оптимальности блоков нелинейной селекции и фильтра в целом при обработке временных сигналов обычно является минимум СКО

$$\epsilon^2 = \overline{(z_0 - \hat{z}_0)^2}, \quad (9)$$

$$\epsilon^2 = \overline{(s - \hat{\epsilon})^2}, \quad (10)$$

где

$$\hat{\epsilon}_0 = F^{-1} K F z. \quad (11)$$

В задачах обработки изображений, а также при приеме непрерывных сообщений, часто используется критерий приближения в равномерной метрике

$$\Delta^2 = \max_{t, \Omega} |s(t) - \hat{\epsilon}(t)|^2, \quad (12)$$

где  $\Omega$  – пространство реализаций.

В отличие от задач оптимальной линейной фильтрации, где выбор базиса для представления сигналов не влияет на результат и определяется лишь удобствами реализации (например, применением БПФ), качество амплитудной селекции сигналов и ИП существенно зависит от такого выбора. Например, селекция с помощью ограничения или бланкирования ИП эффективна во временной или пространственной области, где сигнал и помеха различаются по амплитуде и длительности, и теряет смысл в спектральной области, где их спектры сходны.

Таким образом, возникает задача выбора оптимального отображения  $F$ , при котором с учетом вида оператора селекции  $K$  обеспечивается наиболее эффективное подавление ИП по критерию (9).

Как и в других задачах оптимальной обработки сигналов, из общего критерия (9) можно вывести более простое и удобное для синтеза алгоритмов решающее правило. Оно зависит от выбранного способа селекции (оператора  $K$ ).

Нетрудно показать, что при использовании ограничения указанное правило сводится к максимизации показателя селективности

$$\gamma = P_u / P_0, \quad (13)$$

где  $P_u$  и  $P_0$  – усредненные по реализациям пиковые мощности ИП и остаточной смеси вида (8) в области отображений (функций  $v(\mathfrak{Q})$ ).

При использовании бланкирования необходимо минимизировать среднюю ширину ИП в области отображений  $\hat{\mathfrak{Q}}_n$ .

Обоим правилам удовлетворяет отображение  $F$ , обеспечивающее максимальное увеличение амплитуды и уменьшение длительности ИП или площади пораженного ИП участка изображения в смеси (7). Детальный анализ показывает, что такое отображение не может быть линейным и должно зависеть от амплитуды или мгновенной мощности  $z(t)$  (в

противном случае, возможно пропорциональное увеличение пиков помехи и сигнала). Кроме того, должна быть простой и однозначной реализация обратного оператора  $\mathbf{F}^{-1}$ . Этому требованию в наибольшей степени удовлетворяют унитарные (ортогональные) операторы.

Таким образом, отображение  $\mathbf{F}$ , удовлетворяющее поставленным требованиям, следует искать в классе операторов с унитарной нелинейностью. Один из классов таких операторов для функций непрерывных аргументов рассматривается в нелинейной квантовой механике [9], нелинейной оптике [10] и описывается эволюционными уравнениями Шредингеровского типа

$$i \frac{\partial \Psi}{\partial \eta} + \alpha \Delta \Psi + f(\Psi) = 0, \quad (14)$$

где  $\alpha$  – постоянный коэффициент,  $\Delta$  – оператор Лапласа по координатам  $t_1$  и  $t_2$ ,  $f$  – функция, определяющая вид нелинейности,  $\Psi(\eta, \mathbf{t})$  – комплексная функция, значение которой при  $\eta = 0$  и некотором  $\eta = l$  соответствует сигналам на входе и выходе блока  $\mathbf{F}$ :

$$\Psi(0, \mathbf{t}) = z(\mathbf{t}); \Psi(l, \mathbf{t}) = v(\mathbf{t}). \quad (15)$$

Уравнение (14) задает отображение функций, определенных в области  $T$ , которое описывает преобразование сигнала  $z(\mathbf{t})$  в некотором двумерном пространственно распределенном нелинейном фильтре.

При этом обратное отображение задается сопряженным уравнением

$$-i \frac{\partial \Psi}{\partial \eta} + \alpha \Delta \Psi + f(\Psi) = 0, \quad (16)$$

где

$$\Psi(0, \mathbf{t}) = v_0(\mathbf{t}); \Psi(l, \mathbf{t}) = z_0(\mathbf{t}), \quad (17)$$

т.е.

$$\mathbf{F}^{-1} = \mathbf{F}^*. \quad (18)$$

Непосредственная реализация указанных операторов в аналоговой форме возможна для двумерных и одномерных полей оптического и некоторых других (например, СВЧ) диапазонов электромагнитных волн в нелинейных диэлектрических средах. При определенном выборе нелинейности, описываемой функцией  $f(\Psi)$  в (14), можно за счет самовоздействия волн обеспечить селективную фокусировку участков поля с аномально большой интенсивностью, обусловленной наложением ИП, и тем самым – увеличение показателя селективности (13). Однако, возможности варьирования и оптимизации параметров нелинейного оператора в этом случае весьма ограничены. Поэтому основное применение рассматриваемый метод может найти при дискретной и цифровой обработке сигналов.

Для такой реализации оператор  $\mathbf{F}$  целесообразно представить, используя метод расщепления по физическим факторам [11,12], в виде произведения линейных ( $\mathbf{G}_k$ ) и нелинейных ( $\mathbf{H}_k$ ) операторов вида

$$\mathbf{F} = \prod_{k=1}^n \mathbf{G}_k \mathbf{H}_k [\Psi_k]. \quad (19)$$

Каждый из линейных операторов  $\mathbf{G}_k$  реализуется звеном с передаточной функцией

$$G_k(i\omega) = \exp \left\{ -i\alpha(\omega_1^2 + \omega_2^2) \Delta \eta_k \right\}, \quad (20)$$

которой соответствует импульсная характеристика (функция Грина линейной части уравнения (14))

$$g_k(\mathbf{t}) = g_{0k} \exp \frac{ia_k(t_1^2 + t_2^2)}{2}, \quad (21)$$

где  $\omega = (\omega_1, \omega_2)$  – вектор частот,  $n$  – число пар звеньев,

$$\begin{aligned} \Delta \eta_k &= \eta_{k+1} - \eta_k, \\ g_{0k} &= (4\pi \Delta \eta_k \alpha i)^{\frac{1}{2}}, \\ a_k &= \frac{1}{2\Delta \eta_k \alpha}. \end{aligned} \quad (22)$$

Нетрудно заметить, что линейный интегральный оператор с ядром (21) представляет собой известное преобразование Френеля [2] и, таким образом, указанные линейные звенья – это фильтры Френеля. Нелинейные операторы  $\mathbf{H}_k[\Psi_k]$  в (19) соответствуют умножению функции  $\Psi_k(\tau) = \Psi(\eta_k, \tau)$  на зависящие от нее коэффициенты преобразования

$$\mathbf{H}_k[\Psi_k] = \exp [if(\Psi_k)]. \quad (23)$$

Сопряженный оператор вследствие уже упоминавшегося свойства унитарности представляется в виде

$$\mathbf{F}^*[\Psi] = \prod_{k=1}^n \mathbf{H}_k^*[\Psi_k] \mathbf{G}_k^*. \quad (24)$$

Как видно из (20) и (23), рассматриваемые линейные и нелинейные звенья имеют единичные, не зависящие от частоты модули коэффициентов передачи и в совокупности образуют некоторый нелинейный фазовый фильтр с распределенными параметрами. Для его реализации в цифровой форме производится обычная дискретизация переменных  $t_1, t_2$  и соответствующих им частот  $\omega_1, \omega_2$ . Нелинейное преобразование (23) реализуется непосредственно в области определения сигнала, а преобразование Френеля – с помощью одного или двух двумерных БПФ [2,12]. При втором способе затраты времени больше, но зато выше точность.

### 3. ОПТИМИЗАЦИЯ ПАРАМЕТРОВ ФИЛЬТРА

Минимальное число пар звеньев, необходимое для реализации предъявленных к оператору  $\mathbf{F}$  требований  $n = 1$ . С увеличением  $n$  отображение  $\mathbf{F}$  становится менее критичным к форме ИП.

При  $n = 1$  результат отображения  $\mathbf{F}$  можно записать в явном виде:

$$v(\mathbf{t}) = g_0 \iint_T \exp \left\{ \frac{ia(\mathbf{t} - \tau)^2}{2} + if[z(\tau)] \right\} \times z(\tau) d\tau_1 d\tau_2. \quad (25)$$

Для определения функции  $f$  в (25), доставляющей максимум показателя селективности (13),

$$v(0) = g_0 \iint_T \exp \left\{ \frac{ia(t_1^2 + t_2^2)}{2} + if[u(\mathbf{t})] \right\} u(\mathbf{t}) dt_1 dt_2. \quad (27)$$

Для определения максимума пиковой мощности  $|v(0)|^2$  используем известное неравенство для интеграла от любой комплексной функции  $Q(\mathbf{t})$

$$\left| \iint_T Q(\mathbf{t}) dt_1 dt_2 \right| \leq \iint_T |Q(\mathbf{t})| dt_1 dt_2, \quad (28)$$

которое переходит в равенство при  $Q(\mathbf{t}) = |Q(\mathbf{t})|$ . В силу него для отдельной реализации ИП  $u(\mathbf{t})$  указанный максимум достигается (в предположении, что  $f$  – вещественная функция) при

$$\frac{a(t_1^2 + t_2^2)}{2} + f[u(\mathbf{t})] + \varphi(\mathbf{t}) = 0 \quad (29)$$

и равен

$$U_m^2 = \max (v(0))^2 = (g_0)^2 \left[ \iint_T (u(\mathbf{t})) dt_1 dt_2 \right]^2, \quad (30)$$

где  $\varphi(\mathbf{t}) = \arg u(\mathbf{t})$ .

Условие (29) есть условие согласования фильтра, имеющего импульсную характеристику (21) с ИП  $u(\mathbf{t})$  по фазе.

$$P_u = \overline{|v(0)|^2} = |g_0|^2 \int_R w(\Theta) \left( \iint_T \exp \left\{ \frac{ia(t_1^2 + t_2^2)}{2} + if[u(\mathbf{t}, \Theta)] \right\} u(\mathbf{t}, \Theta) dt_1 dt_2 \right)^2 d\Theta, \quad (32)$$

где  $w(\Theta)$  – плотность вероятности вектора параметров,  $R$  – их область определения.

Рассмотрим параметрическую оптимизацию функционала (32). Пусть функция  $f$  определяется заданным заранее аналитическим выражением, содержащим вектор неизвестных параметров  $\beta$ ,

$$f(u) = f(u, \beta).$$

$$\int_R W(\Theta) \operatorname{Re} \iint_T \iint_T \exp \{ i[\Phi(t_1, \Theta) - \Phi(t_2, \Theta)] \} u(t_1, \Theta) u^*(t_2, \Theta) \left\{ \frac{\partial f[u(t_1, \Theta), \beta]}{\partial \beta_k} \right\} dt_1 dt_1^* dt_2 dt_2^* d\Theta = 0, \quad (33)$$

необходимо учесть исходное требование к нелинейному оператору  $\mathbf{H}$ : селективное действие на ИП без существенного изменения остальных компонент смеси  $z(\mathbf{t})$ , которые предполагаются слабыми по сравнению с ИП  $u(\mathbf{t})$ . Это достигается при условии

$$(f[z_0(\mathbf{t})]) \ll (f[u(\mathbf{t})]). \quad (26)$$

При этом знаменатель отношения (13) практически не зависит от выбора  $f$  и достаточно максимизировать пиковую мощность отклика (25) на ИП, т.е. при  $z(\mathbf{t}) = v(\mathbf{t})$ . Пик (25) в этом случае достигается при  $\mathbf{t} = 0$  и равен

Выбор фазового фильтра обусловлен, как уже отмечалось, требованием унитарности оператора  $\mathbf{F}$ . В полностью согласованном фильтре величина  $U_m^2$  имела бы значение

$$U_m^2 = (g_0)^2 \cdot \left[ \iint_T (u(\mathbf{t}))^2 dt_1 dt_2 \right]^2 = (g_0)^2 E_u, \quad (31)$$

где  $E_u$  – энергия  $u(\mathbf{t})$ . Ясно, что различие между (30) и (31) несущественно.

Таким образом, предлагаемое преобразование ИП основано на развитии известных методов сжатия частотно-модулированных импульсов в согласованных фильтрах, но в отличие от них здесь модуляция ставится в зависимость от интенсивности сигнала и фильтр является двумерным.

Как ясно из уравнения (29), оптимальная функция зависит от параметров импульса. Если они случайные, необходимо искать максимум пиковой мощности путем усреднения (27) с учетом их распределений:

Тогда точку экстремума функционала (32) можно найти обычным методом, по нулям производных. Приравнявая нулю производную выражения (32) по параметрам  $\beta$  после несложных преобразований получаем систему уравнений для оптимальных значений  $\beta$

где

$$k = 1, 2, \dots, n;$$

$$\Phi(\mathbf{t}, \Theta) = \frac{a(t_1^2 + t_2^2)}{2} + f(u, \Theta) + \varphi(\mathbf{t}). \quad (34)$$

Способ решения указанных уравнений зависит от конкретного вида функций  $f$ . Пусть, например,

$$f(u, \beta) = \sum_{k=0}^N \beta_k |u|^k, \quad (35)$$

тогда

$$\frac{\partial f}{\partial \beta_k} = |u|^k. \quad (36)$$

$$a_{lk} = \text{Re} \left\{ i \iint_T \iint_T \exp \left\{ ia(t_1^2 + t_2^2 - \tau_1^2 - \tau_2^2) \right\} [v_{l+k+2} - \mu_{l+k+2}] dt_1 dt_2 d\tau_1 d\tau_2 \right\}, \quad (39)$$

$$b_l = \text{Re} \left\{ \iint_T \iint_T \exp \left\{ ia(t_1^2 + t_2^2 - \tau_1^2 - \tau_2^2) \right\} \alpha_{l+2}(t_1, t_2, \tau_1, \tau_2) dt_1 dt_2 d\tau_1 d\tau_2 \right\}. \quad (40)$$

В выражения (39), (40) входят моментные функции

$$\mu_{l+k+2}(\mathbf{t}_1, \mathbf{t}_2) = \int_R (u(\mathbf{t}_1, \Theta))^{l+k} u(\mathbf{t}_1, \Theta) u^*(\mathbf{t}_2, \Theta) w(\Theta) d\Theta, \quad (41)$$

$$v_{l+k+2}(\mathbf{t}_1, \mathbf{t}_2) = \int_R (u(\mathbf{t}_1, \Theta))^l (u(\mathbf{t}_1, \Theta))^k u(\mathbf{t}_1, \Theta) u^*(\mathbf{t}_2, \Theta) w(\Theta) d\Theta, \quad (42)$$

$$\alpha_{l+2}(\mathbf{t}_1, \mathbf{t}_2) = \int_R (u(\mathbf{t}_1, \Theta))^l u(\mathbf{t}_1, \Theta) u^*(\mathbf{t}_2, \Theta) w(\Theta) d\Theta, \quad (43)$$

При  $|A| \neq 0$  уравнения (38) имеют решение

$$\beta_{opt} = \mathbf{A}^{-1} \mathbf{b}. \quad (44)$$

Поскольку аналитическое вычисление таких интегралов громоздко или затруднено, для расчета коэффициентов (39), (40) целесообразно использовать численные методы.

Алгоритм фильтрации и условия оптимизации фильтра для одномерных (временных) сигналов легко получаются из приведенных выше как частный случай.

#### 4. РЕЗУЛЬТАТЫ СТАТИСТИЧЕСКОГО МОДЕЛИРОВАНИЯ

С целью проверки эффективности разработанного метода подавления ИП было проведено сравнительное статистическое моделирование, в процессе которого воспроизводились реализации сигнала и ИП, осуществлялось подавление ИП рассматриваемым и известными методами и определялись показатели качества обоих методов. При моделировании реализаций ИП задавались характеристики, указанные в п.1, для флуктуационной помехи была принята обычная модель в виде белого гауссовского шума, а для сигнала (изображения) – в виде гауссовского случайного поля с корреляционной функцией экспоненциального вида (воспроизводился фрагмент изображения размером  $256 \times 256$  отсчетов). Параметры нелинейной фазовой функции, аппроксимированной полиномом второй степени вида (35), были рассчитаны путем численного решения системы уравнений (38) с коэффициентами, найденными по формулам (39) – (43). В качестве не-

Подставляя (36) в (33) и линеаризуя полученные уравнения путем разложения экспоненты в ряд, после ряда преобразований получаем систему линейных уравнений вида

$$\sum_{k=0}^{N-1} a_{lk} \beta_k = b_l, \quad (37)$$

или, в матричной форме

$$\mathbf{A} \boldsymbol{\beta} = \mathbf{b}, \quad (38)$$

где

$$a_{lk} = \text{Re} \left\{ i \iint_T \iint_T \exp \left\{ ia(t_1^2 + t_2^2 - \tau_1^2 - \tau_2^2) \right\} [v_{l+k+2} - \mu_{l+k+2}] dt_1 dt_2 d\tau_1 d\tau_2 \right\}, \quad (39)$$

$$b_l = \text{Re} \left\{ \iint_T \iint_T \exp \left\{ ia(t_1^2 + t_2^2 - \tau_1^2 - \tau_2^2) \right\} \alpha_{l+2}(t_1, t_2, \tau_1, \tau_2) dt_1 dt_2 d\tau_1 d\tau_2 \right\}. \quad (40)$$

В

$$\mu_{l+k+2}(\mathbf{t}_1, \mathbf{t}_2) = \int_R (u(\mathbf{t}_1, \Theta))^{l+k} u(\mathbf{t}_1, \Theta) u^*(\mathbf{t}_2, \Theta) w(\Theta) d\Theta, \quad (41)$$

$$v_{l+k+2}(\mathbf{t}_1, \mathbf{t}_2) = \int_R (u(\mathbf{t}_1, \Theta))^l (u(\mathbf{t}_1, \Theta))^k u(\mathbf{t}_1, \Theta) u^*(\mathbf{t}_2, \Theta) w(\Theta) d\Theta, \quad (42)$$

$$\alpha_{l+2}(\mathbf{t}_1, \mathbf{t}_2) = \int_R (u(\mathbf{t}_1, \Theta))^l u(\mathbf{t}_1, \Theta) u^*(\mathbf{t}_2, \Theta) w(\Theta) d\Theta, \quad (43)$$

линейного преобразования  $\mathbf{K}$  ( в области образов Френеля ) выбрано, как наилучшее, бланкирование с экспериментально подобранным оптимальным порогом. Результаты подавления ИП оценивались по двум критериям – СКО (10)  $q_c = \varepsilon^2$  и квадрату модуля максимального отклонения (12)  $q_\Delta = \Delta^2$ , а затем сравнивались с аналогичными показателями, полученными путем моделирования одного из наиболее эффективных известных методов подавления ИП на изображениях – медианной фильтрации [3] при тех же характеристиках сигнала и помех.

На рис.2 и 3 показаны полученные зависимости указанных показателей от среднего значения ширины импульса помехи  $m_\Theta$  по одной из координат для случая, когда дисперсия ширины составляла 10% от  $m_\Theta^2$ . Зависимости для рассматриваемого метода показаны сплошными линиями, а для известного (медианного фильтра) – штриховыми. Размер окна при медианной фильтрации составлял  $3 \times 3$  отсчета и его увеличение при выбранных параметрах ИП и сигнала не приводило к улучшению качества подавления ИП.

Из приведенных зависимостей видно, что для ИП малого размера по сравнению с рассматриваемой областью изображения, т.е. близких к точечным, предлагаемый метод, как и следовало ожидать, не дает выигрыша или даже имеет проигрыш (по второму критерию), так как нет резервов дополнительной сжатия ИП и более эффективной является обычная медианная фильтрация (или другой извест-

ный метод, например, интерполяция по соседним отсчетам). С увеличением размеров ИП все более заметным становится выигрыш, достигаемый предлагаемым методом по сравнению с известным, так как проявляются преимущества сжатия ИП. Например, при  $m_{\odot} = 10$  достигается выигрыш по СКО около 8 дБ, а по второму критерию – 6,5 дБ. Результаты, полученные при других значениях параметров ИП и сигнала, имеют аналогичный характер.

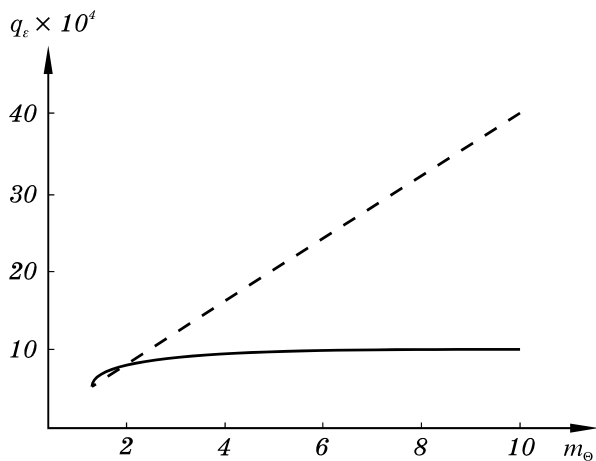


Рис.2

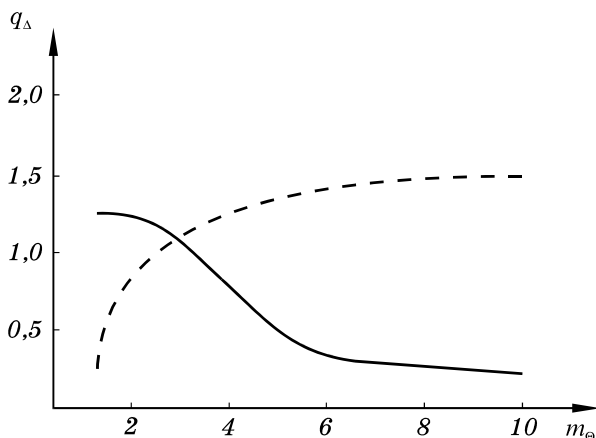


Рис.3

В заключение необходимо отметить, существуют резервы дальнейшего повышения эффективности подавления ИП предложенным методом за счет совершенствования вида аппроксимации нелинейной фазовой функции фильтра и увеличения числа его звеньев.

Для более обоснованных рекомендаций по выбору этих и других параметров необходимы дальнейшие эксперименты на реальных изображениях с использованием различных, в том числе субъективных критериев оценки их качества.

## ЛИТЕРАТУРА

1. Ярославский Л.П. Введение в цифровую обработку изображений. – М. : Советское радио, 1979.
2. Ярославский Л.П. Цифровая обработка сигналов в оптике и голографии. – М. : Радио и связь, 1987.
3. Быстрые алгоритмы в цифровой обработке изображений / Под ред. Т.С. Хуанга : Пер. с англ. – М. : Радио и связь, 1984.
4. Финк Л.М. Теория передачи дискретных сообщений. – М. : Сов. радио, 1970.
5. Тихонов В.И., Кульман Н.К. Нелинейная фильтрация и квазикогерентный прием сигналов. – М. : Сов. радио, 1975.
6. Кловский Д.Д., Конторович В.Я., Широков С.М. Модели непрерывных каналов связи на основе СДУ. – М. : Радио и связь, 1984.
7. Широков С.М., Григоров И.В. Фильтрация сигналов на фоне импульсных помех с применением нелинейных ортогональных преобразований. Международная конференция и 50-я научная сессия РНТОРЭС им. А.С. Попова. Тезисы докладов, ч.2. – М. : 1995, с. 180.
8. Певницкий В.П., Полозок Ю.В. Статистические характеристики промышленных радиопомех. – М. : Радио и связь, 1988.
9. Маслов В.П. Комплексные марковские цепи и континуальный интеграл Фейнмана. – М. : Наука, 1976.
10. Ахманов С.А., Выслоух В.А., Чиркин А.С. Оптика фемтосекундных лазерных импульсов. – М. : Наука, 1988.
11. Yevick D., Hermansson B. Solution analysis with the propagating beam method // Opt. Comm. – 1983, v. 47, N2, P. 101 – 106.
12. Широков С.М. Различимость импульсов частично когерентного излучения в нелинейном оптическом канале. – Компьютерная оптика, 1993, вып. 13, с. 59 – 64.